

宇宙地球科学 I (第七(六)回目)

地球資源・エネルギー

東京大学総合文化研究科：

小宮 剛 准教授

2015/11/5

資源・鉱床

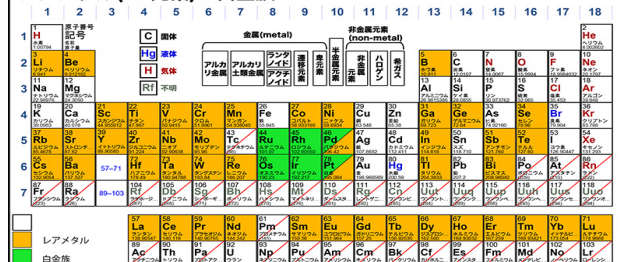
(1)鉱資源：ベースメタル：鉄,Mn
:レアメタル：白金族,希土類元素

(2)エネルギー：石油,(石炭),天然ガス(メタンハイドレート)

ベースメタル(Fe,Al,Cu,Zn,Pb)：探査が容易。埋没量、生産量が多い。精錬が容易。

レアメタル：埋没量、生産量が少ない。天然で濃集しない。精錬が困難。

レアメタル(47元素)と白金族



授業の内容

9/17: 休講

9/24: 小宮①惑星地球の構造

10/ 1: 小宮②惑星地球の組成と起源

10/ 8: 小宮③プレートテクトニクス
とブルームテクトニクス

10/15: 小宮④火成活動と地震

10/22: 磯崎①沈み込み帯のテクトニクス。造山運動。

10/29: 小宮⑤大気・海洋

11/ 5: 小宮⑥資源・エネルギー

11/12: 磯崎②付加体

11/19: 磯崎③日本列島 1

11/26: 磯崎④日本列島 2

12/ 3: 磯崎⑤絶滅と進化

12/10: 磯崎⑥ (テスト)

海水中の元素濃度



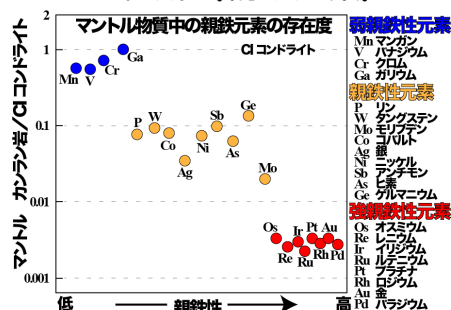
海水中の微量重元素の濃度の平均値の変遷

(海洋地球化学, 蒲生俊敬 編)

元素名 1960年代 1970年代 1980年代 1990年代

	1960年代	1970年代	1980年代	1990年代
鉄	180	36	0.7	0.6
銅	50	8	2	2
銀	3	0.3	0.03	0.02
金	0.02	0.02	0.06	0.00015
鉛	0.2	0.2	0.005	0.005
ビスマス	0.1	0.1	0.05	0.00015

マントルの組成 (親鉄元素)



- ①親鉄性元素はマントルに少ない
- ②強親鉄性元素もマントルに含まれる
- ③強親鉄性元素濃度は一定

レアメタルの問題点

■世界のレアース資源の分布



■レアースの埋蔵量(氧化物量) 単位:トン
中国は世界全体の30%程度



(出典: Mineral Commodity Summary 2008年)

■レアース生産量(氧化物量) 単位:トン

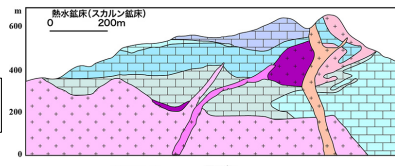
■中国は世界全体の30%程度

中国は世界全体の30%程度

中国

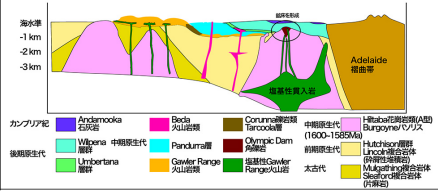
スカルン型

石灰岩と火成岩の間での熱水鉱床



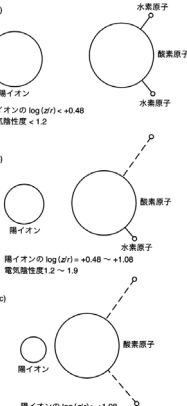
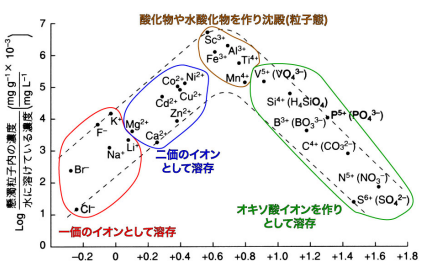
キルナ型

堆積岩とアルカリ花崗岩の間での熱水鉱床



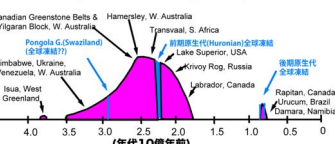
(1) 堆積性鉱床: Fe, Mn, U, Pについて

→水溶液(海水、河川、地下水)への溶け易さと、そこからの沈殿



18億年前以前
海水中の Fe^{2+} が酸化されて、 Fe^{3+} になり、沈殿(Fe_2O_3 , FeO(OH))

縞状鉄鉱層(BIFs)の形成時期



23億年前

海水中の Mn^{2+} が酸化されて、 Mn^{3+} または Mn^{4+} になり、沈殿

縞状マンガン層



pH の定義: $\text{pH} = -\log a(\text{H}^+)$

pe の定義: $\text{pe} = -\log a(\text{e})$

E の定義: $E = RT/F \cdot \ln [a(\text{Red})/a(\text{Ox}) \cdot a(\text{H}^+)^m]$

$E = E^\circ - (0.059/m) \cdot \text{pH} - (0.059/n) \cdot \log [a(\text{Red})/a(\text{Ox})]$

(1) $\text{FeO} + 6\text{H}^+ + 2\text{e} = 2\text{Fe}^{2+} + 3\text{H}_2\text{O}$ $E^\circ = 0.728$

$E = E^\circ - (0.059/m) \cdot \log [\text{Fe}^{2+}]^2 / [\text{Fe}_2\text{O}_3] \cdot [\text{H}^+]^6$

$= 0.728 - 0.059 \cdot \log [\text{Fe}^{2+}]^2 \cdot \log [\text{Fe}_2\text{O}_3] \cdot 6 \cdot \log [\text{H}^+]$

$= 0.728 - 0.059 \cdot \log [\text{Fe}^{2+}]^2 \cdot 0.177 \cdot \text{pH}$

(2) $\text{FeO} + 6\text{H}^+ = 2\text{Fe}^{3+} + 2\text{H}_2\text{O}$ $E^\circ = 0.980$

$K_\text{o} = -0.720$

E-Faraday 定数 $= 96,445 \text{ C/mol}$

$I = 295.15 \text{ (K)}$

$RT/(F \cdot \log e) = 0.059$

pH の定義: $\text{pH} = -\log a(\text{H}^+)$

pe の定義: $\text{pe} = -\log a(\text{e})$

E の定義: $E = RT/F \cdot \ln a(\text{e}) = (RT/F \cdot \log e) \cdot \log a(\text{e}) = 0.059 \text{ pe}$

H_2O が安定に存在する時の条件

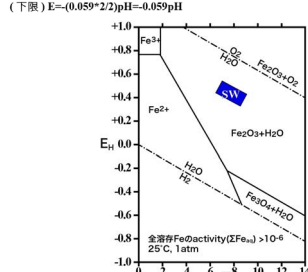
(上限) $\text{O}_2 + 4\text{H}^+ + 4\text{e} = 2\text{H}_2\text{O}$ $E^\circ = 1.23$

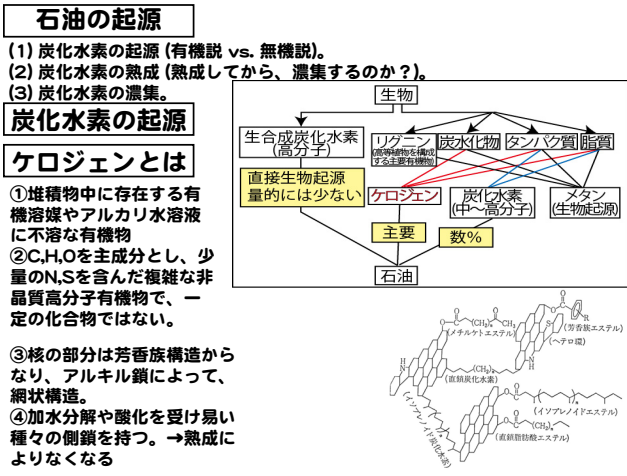
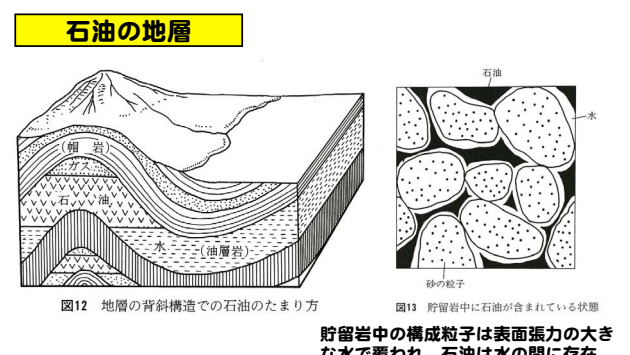
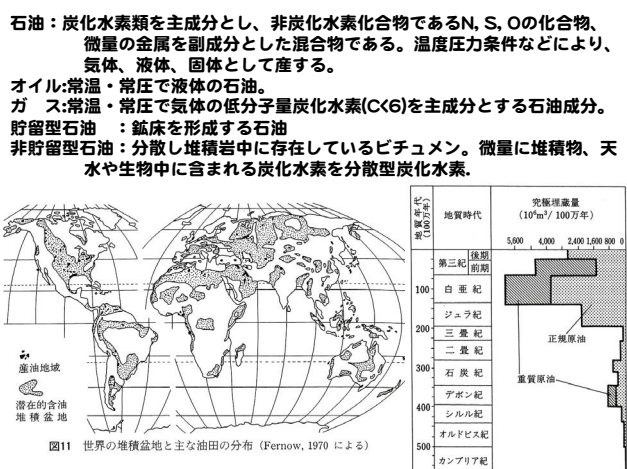
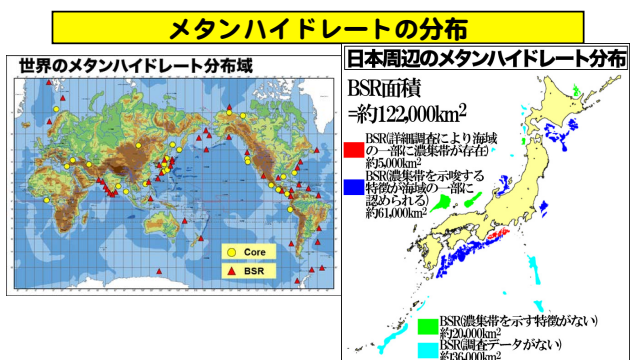
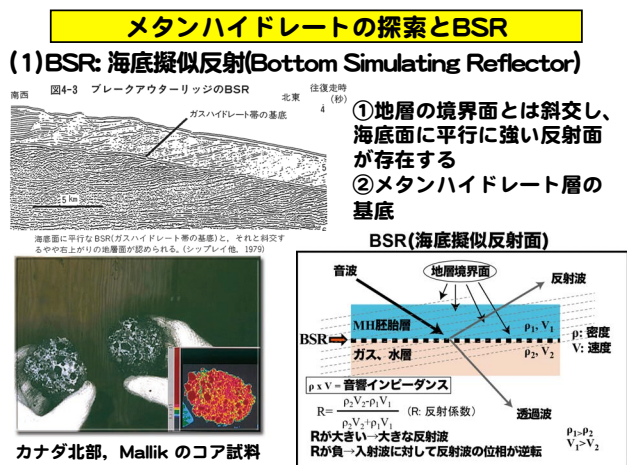
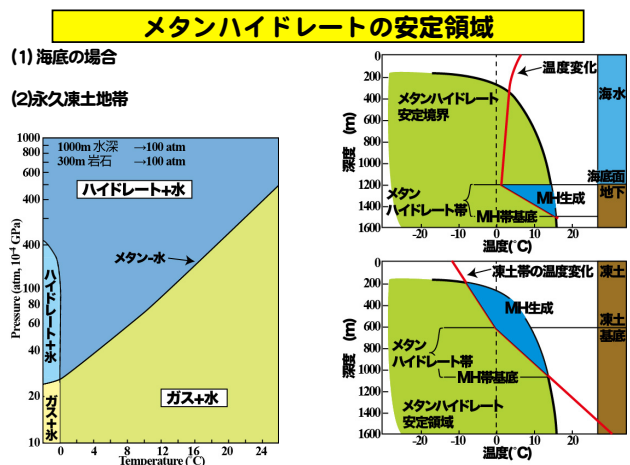
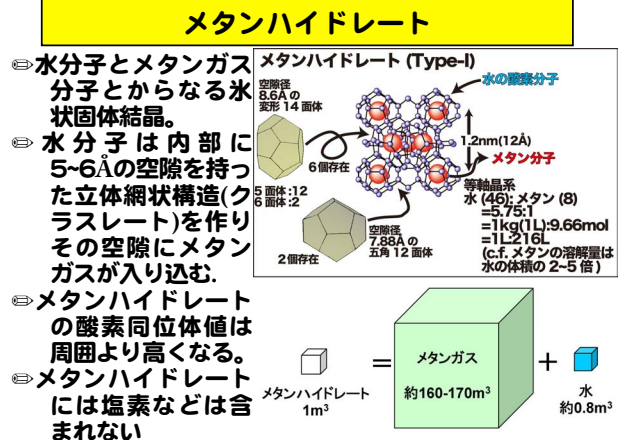
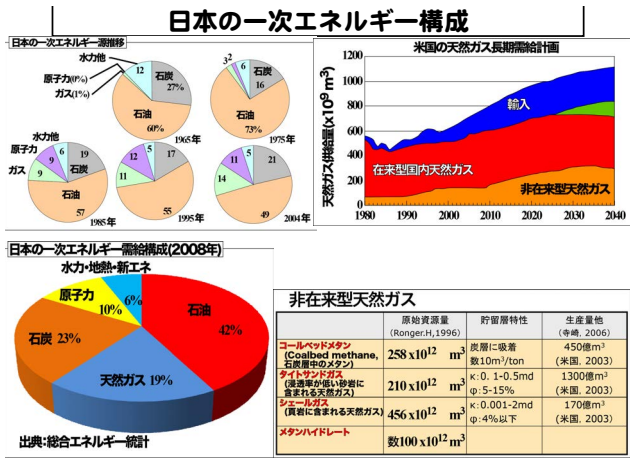
(下限) $2\text{H}^+ + 2\text{e} = \text{H}_2$ $E^\circ = 0 \text{ (定義)}$

気体や液体中の量をそれぞれ、 O_2 , H_2 , H_2O のみとする

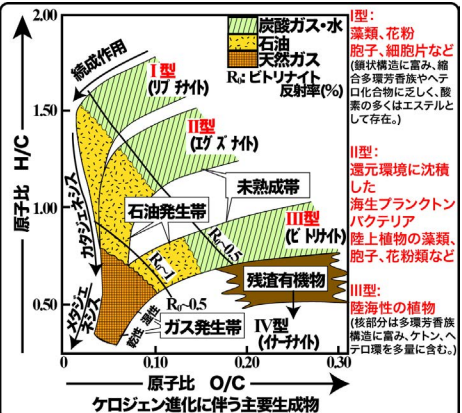
(上限) $E = 1.23 - (0.059 \cdot 4/4) \text{ pH} = 1.23 - 0.059 \text{ pH}$

(下限) $E = -(0.059 \cdot 2/2) \text{ pH} = -0.059 \text{ pH}$





ケロジエンを4グループに分類と石油生成との関係



ケロジエンから炭化水素へ

続成作用期

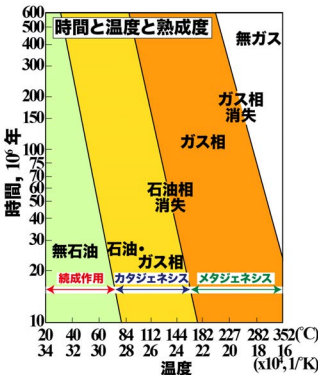
- 官能基が取り除かれる $O \rightarrow H_2O$, CO_2 , N_2 や CH_4 などのガスも
- ケロジエン核が分離。
- ケロジエン核はより芳香族に富む
- 一部の分離したものは有機溶媒に溶解するNOS化合物となる

カタジェネシス期

- 結合がより切られ、小さくなる
- NOS化合物はエステルやC-C結合が破壊され、かつNOSなどのヘテロ原子もなくなる。 \rightarrow 炭化水素(低~中分子量)

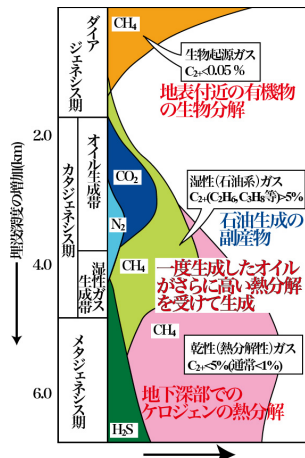
メタジェネシス期

- C-C結合の破壊
- メタンガスの生成
- 芳香族性を増し、縮合、石墨へ



天然ガス

- (1) 不燃性天然ガス~ CO_2 , N_2 など
 (2) 可燃性天然ガス~炭化水素, C_1 ~ C_4 脂肪族炭化水素
 ①生物起源ガスと熱分解性ガス
 ②貯留岩ガス: 貯留岩に濃集した有用ガス



石炭の分布、年代

(1) 年代はデボン紀以降。

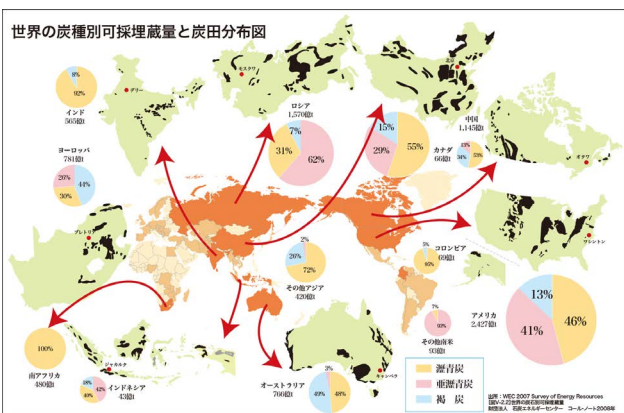
陸上植物はオルドビス紀(450Ma~)、シルル紀に多様化、デボン紀後期には巨大な森林を形成

(2) 主要鉱床の時代:

- 石炭紀~二疊紀前半: 管束裸花植物陸上植物
- ジュラ紀~白亜紀前半: 裸子植物やシダ植物
- 白亜紀後半~古第三紀: 被子植物



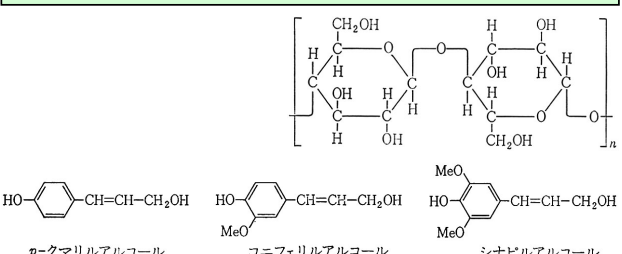
石炭の分布、年代



石炭の起源物質

(3) 石炭の起源物質:

- 陸上植物のセルロース(陸上植物, >50%)vsリグニン(ca.30%)
- セルロース:細胞膜的主要成分
- リグニン:セルロースで構成された植物組織の結合



石炭の形成プロセス

